

## STRUKTURY PRZETWORNIKÓW JEDNOCZESNYCH ZMIAN DWÓCH PARAMETRÓW DWÓJNIKÓW RC O WYJŚCIU CZĘSTOTLIWOŚCIOWYM

Lesław TOPÓR-KAMIŃSKI<sup>1</sup>, Janusz GUZIK<sup>2</sup>, Adam PILŚNIAK<sup>3</sup>

1. Politechnika Śląska, Instytut Metrologii, Elektroniki i Automatyki  
tel.: 32 237 25 12, e-mail: leslaw.topor-kaminski@polsl.pl
2. Politechnika Śląska, Instytut Metrologii, Elektroniki i Automatyki  
tel.: 32 237 29 91, e-mail: janusz.guzik@polsl.pl
3. Politechnika Śląska, Instytut Metrologii, Elektroniki i Automatyki  
tel.: 32 237 26 54, e-mail: adam.pilsniak@polsl.pl

**Streszczenie:** W pracy przedstawiono opis struktur nowej klasy przetworników parametrów dwójników RC, np.  $(R, C)$  lub  $(C, tg\delta)$ , pozwalających w oparciu o układ oscylatora kwadraturowego rzędu trzeciego na jednoczesny pomiar tych dwóch parametrów, przy czym zmianom jednego z parametrów odpowiadają zmiany wartości pulsacji sygnału wyjściowego przetwornika, natomiast zmianom wartości drugiego z parametrów – odpowiednio – wzrost lub spadek wartości amplitudy generowanych sygnałów. Opisano wybrane warianty realizacji układowych, a także zalety i wady analizowanej klasy przetworników.

**Słowa kluczowe:** przetwornik zmian składowych impedancji – częstotliwość, oscylator kwadraturowy rzędu trzeciego, transkonduktancyjny wzmacniacz operacyjny.

### 1. WSTĘP

Jedną z metod pomiaru parametrów (składowych) impedancji  $Z$  (lub admittancji  $Y=1/Z$ ) typu RC (np.  $Re(Z)$ ,  $Im(Z)$  oraz  $Re(Z) / Im(Z)$ ) jest metoda bazująca na wykorzystaniu przetworników typu „parametr impedancji / częstotliwość” pracujących w układzie bezpośrednim lub np. w układzie komparatora [2].

Przetworniki takie budowane są w oparciu o różne warianty układowe oscylatorów różniące się między innymi: liczbą zastosowanych elementów aktywnych / pasywnych, uziemieniem (lub nie) impedancji / admittancji mierzonego dwójnika RC i rzędem  $n \geq 2$  równania charakterystycznego opisującego układ oscylatora [1, 3-13].

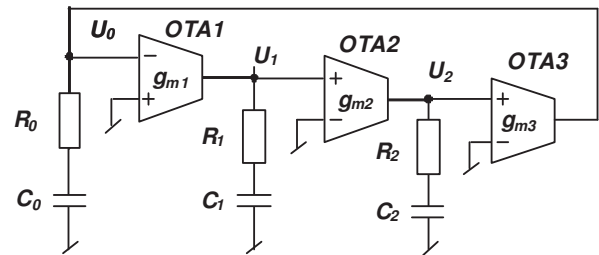
Znane przetworniki składowych impedancji na częstotliwość bazujące na oscylatorach rzędu  $n=2$  umożliwiają na ogół przetwarzanie tylko jednego parametru impedancji, przy czym najczęściej parametr ten wpływa też na warunki wzbudzenia oscylatora.

Z kolei zaletą stosowanych oscylatorów, opisywanych równaniami charakterystycznymi wyższych stopni niż drugi, tj. np.  $n=3$ , jest mniejsza zawartość wyższych harmonicznych w wytwarzanych oscylacjach [1, 3-13].

W artykule przedstawiono opis struktur nowej klasy przetworników parametrów dwójnika RC pozwalających w oparciu o układ oscylatora kwadraturowego rzędu trzeciego na jednoczesny pomiar dwóch parametrów, np.  $(C, tg\delta)$ .

### 2. PODSTAWOWE ZALEŻNOŚCI

W monografii [9] wykazano, że synteza oscylatorów harmonicznych jest tożsama z dwójnikową metodą syntezy układu połączeń kilku dwójników aktywnych i biernych. Przykładowo, na rysunku 1 zamieszczono przykładową realizację przetwornika jednoczesnych zmian parametrów dwójników RC z zastosowaniem 3 transkonduktancyjnych wzmacniaczy operacyjnych OTA1 – OTA3 [9, 10, 11].



Rys.1. Przetwornik jednoczesnych zmian parametrów dwójników RC, np.  $(R_0, C_0)$  lub  $(R_1, C_1)$  lub  $(R_2, C_2)$  lub  $(C_0, tg\delta_0)$  lub  $(C_1, tg\delta_1)$  lub  $(C_2, tg\delta_2)$

Pracę układu przetwornika według rysunku 1 opisuje tutaj równanie charakterystyczne rzędu  $n=3$  postaci  $a_0 + a_1s + a_2s^2 + a_3s^3 = 0$ , gdzie [9, 10]:

$$\begin{aligned} a_0 &= g_{m1}g_{m2}g_{m3}, \\ a_1 &= g_{m1}g_{m2}g_{m3}(R_0C_0 + R_1C_1 + R_2C_2), \\ a_2 &= g_{m1}g_{m2}g_{m3}[R_0C_0(R_1C_1 + R_2C_2) + R_1C_1R_2C_2] \\ a_3 &= C_0C_1C_2 + g_{m1}g_{m2}g_{m3}R_0C_0R_1C_1R_2C_2. \end{aligned}$$

Wynikają stąd następujące wartości pulsacji oscylacji  $\omega_G = \sqrt{a_0/a_2}$  i  $\omega_0 = \sqrt{a_1/a_3}$  [9,10]:

$$\omega_G = \frac{1}{\sqrt{R_0C_0(R_1C_1 + R_2C_2) + R_1C_1R_2C_2}} \quad (1a)$$

oraz

$$\omega_0 = \sqrt{\frac{g_{m1}g_{m2}g_{m3}(R_0C_0 + R_1C_1 + R_2C_2)}{C_0C_1C_2 + g_{m1}g_{m2}g_{m3}R_0C_0R_1C_1R_2C_2}} \quad \text{c) (1b)}$$

Sygnalami wyjściowymi oscylatora są tutaj  $U_1$ ,  $U_2$ , przy czym występuje dla nich cecha typowa dla oscylatorów kwadraturowych, tj. przesunięcie fazowe tych napięć względem siebie o kąt  $\pi/2$ .

Ponadto można wykazać [9,10], że jedynie spełnienie warunku  $\omega_G = \omega_0$  prowadzi do wytworzenia sygnałów sinusoidalnych  $U_1$  lub  $U_2$  o stałej amplitudzie, czyli do obowiązywania relacji [9-12]:

$$\frac{a_0}{a_2} = \frac{a_1}{a_3} \quad (2a)$$

lub

$$\frac{1}{R_0C_0(R_1C_1 + R_2C_2) + R_1C_1R_2C_2} = \frac{g_{m1}g_{m2}g_{m3}(R_0C_0 + R_1C_1 + R_2C_2)}{C_0C_1C_2 + g_{m1}g_{m2}g_{m3}R_0C_0R_1C_1R_2C_2} \quad (2b)$$

gdzie:  $(R_0, C_0)$ ,  $(R_1, C_1)$  oraz  $(R_2, C_2)$  - parametry dwójników RC wg na rysunku 1. Z kolei dla przyjętych oznaczeń  $tg\delta_0 = \omega_0 R_0 C_0$ ,  $tg\delta_1 = \omega_0 R_1 C_1$ ,  $tg\delta_2 = \omega_0 R_2 C_2$  relacja (2b) przyjmuje postać:

$$\frac{1}{tg\delta_0(tg\delta_1 + tg\delta_2) + tg\delta_1tg\delta_2} = \frac{g_{m1}g_{m2}g_{m3}(tg\delta_0 + tg\delta_1 + tg\delta_2)}{\omega_0^3 C_0 C_1 C_2 + g_{m1}g_{m2}g_{m3}tg\delta_0tg\delta_1tg\delta_2} \quad (2c)$$

Wynika stąd, że niespełnienie relacji (2a) lub (2b) lub (2c) prowadzi wprost do powstania łatwo stwierdzalnych tłumionych lub narastających oscylacji o wartości pulsacji  $\omega_0$ .

Opisywane relacje (1a) - (1b) oraz (2a) - (2c) mogą być znacząco uproszczone, w szczególności po przekształceniach [10-12]:

a) dla  $R_1 = 0$  otrzymuje się:

$$\omega_0 = \sqrt{\frac{g_{m1}g_{m2}g_{m3}(R_0C_0 + R_2C_2)}{C_0C_1C_2}}$$

i

$$\frac{1}{tg\delta_0tg\delta_2} = \frac{g_{m1}g_{m2}g_{m3}(tg\delta_0 + tg\delta_2)}{\omega_0^3 C_0 C_1 C_2}$$

b) dla  $R_2 = 0$  otrzymuje się:

$$\omega_0 = \sqrt{\frac{g_{m1}g_{m2}g_{m3}(R_0C_0 + R_1C_1)}{C_0C_1C_2}}$$

i

$$\frac{1}{tg\delta_0tg\delta_1} = \frac{g_{m1}g_{m2}g_{m3}(tg\delta_0 + tg\delta_1)}{\omega_0^3 C_0 C_1 C_2}$$

dla  $R_1 = R_2 = R$  i  $C_1 = C_2 = C$  otrzymuje się:

$$\omega_0 = \sqrt{\frac{g_{m1}g_{m2}g_{m3}(R_0C_0 + 2RC)}{C_0C^2 + g_{m1}g_{m2}g_{m3}R_0C_0R^2C^2}}$$

i

$$\frac{1}{2tg\delta_0tg\delta + tg^2\delta} = \frac{g_{m1}g_{m2}g_{m3}(tg\delta_0 + 2tg\delta)}{\omega_0^3 C_0 C^2 + g_{m1}g_{m2}g_{m3}tg\delta_0tg\delta^2}$$

### 3. WYBRANE STRUKTURY PRZETWORNIKÓW JEDNOCZESNYCH ZMIAN PARAMETRÓW DWÓJNIKÓW RC

Analizowany przetwornik według rysunku 1 pozwala zatem na pomiary dwuparametrowe – jedna składowa impedancji dwójnika RC ( np.  $(R_0, C_0)$  lub  $(R_1, C_1)$  lub  $(R_2, C_2)$  lub  $(C_0, tg\delta_0)$  lub  $(C_1, tg\delta_1)$  lub  $(C_2, tg\delta_2)$ ) przetwarzana jest wprost na sygnał wyjściowy  $U_1$  lub  $U_2$  o pulsacji  $\omega_0$ , natomiast druga składowa impedancji wyznaczana jest z warunków (2a) lub (2b) lub (2c) - tj. z równości amplitud sygnału  $U_1$  lub  $U_2$ .

W dalszym ciągu rozpatrzono przypadek realizacji struktur przetworników do pomiaru składowych  $(C_0, tg\delta_0)$  przy założeniu, że  $tg\delta = tg\delta_1 = tg\delta_2 = \omega_0 RC$ . Wówczas po uproszczeniach można zapisać [12]:

$$\omega_0 = f(C_0) = \sqrt{\frac{g_{m1}g_{m2}g_{m3}(R_0C_0 + 2RC)}{C_0C^2}} \quad (3a)$$

oraz

$$\frac{1}{2tg\delta tg\delta_0} = \frac{g_{m1}g_{m2}g_{m3}(tg\delta_0 + 2tg\delta)}{\omega_0^3 C_0 C^2} \quad (3b)$$

Równanie przetwarzania (3b) względem drugiego parametru  $(tg\delta_0)$  wynika z faktu wytworzenia i mierzalnego stwierdzenia sygnałów sinusoidalnych  $U_1$  lub  $U_2$  o takiej samej, stałej amplitudzie.

Odpowiedni dobór nastawy wartości  $tg\delta = \omega_0 RC$  wynika z rozwiązania równania (3b) względem  $tg\delta$ , które jest równaniem kwadratowym postaci:

$$tg^2\delta + \frac{1}{2}tg\delta_0tg\delta - \frac{\omega_0^3 C_0 C^2}{4tg\delta_0 g_{m1}g_{m2}g_{m3}} = 0 \quad (4a)$$

Rozwiązanie to jest wtedy następujące [12]:

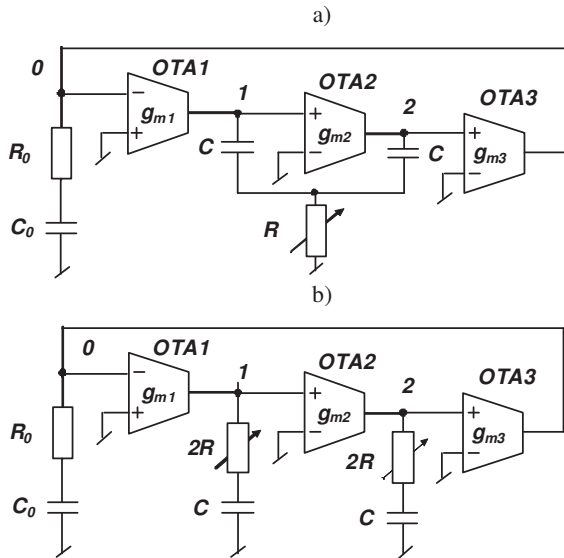
$$tg\delta = \frac{1}{2} \sqrt{\frac{\omega_0^3 C_0 C^2}{tg\delta_0 g_{m1}g_{m2}g_{m3}}} = \frac{const}{\sqrt{tg\delta_0}} \quad (4b)$$

gdzie  $const$  jest tu pewną stałą.

Warto tutaj zwrócić uwagę, że układy tej klasy przetworników pozwalają de facto na komparację wartości nastawy  $tg\delta = \omega_0 RC$  z  $tg\delta_0$ . Ma to znaczenie w badaniach izolacji, gdyż wówczas dla małych wartości  $tg\delta_0 = 10^{-4} - 10^{-2}$  wartości nastaw  $(R, C)$  nie są krytyczne [2,10,12].

Budowa przetworników przy takich założeniach, jest możliwa przy wykorzystaniu właściwości przekształcenia

„gwiazda-trójkąt” w wariantach A - B układu przetwornika przedstawionych na rysunku 2a,b i rysunku 3a,b.



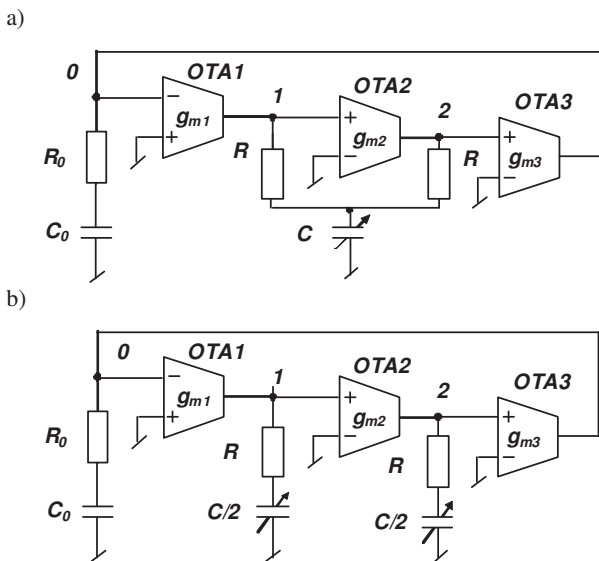
Rys. 2. Wariant A układu przetwornika przy realizacji nastawy  $tg\delta = tg\delta_1 = tg\delta_2 = \omega_0(0 \div 2R)C$  (a) i jego schemat zastępczy (b)

Obydwa warianty A - B układu przetwornika charakteryzują się jednak błędem systematycznym  $\delta$ , określonym wzorem [12]:

$$\delta_{A,B} = g(U_1; I) \approx \frac{1}{|Z_{12A,B}(s = j\omega)| g_{m2}} \cdot 100 \% \quad (5)$$

gdzie  $Z_{12A}(s) = \frac{2}{sC} + \frac{1}{s^2RC^2}$  (dla wariantu A)

oraz  $Z_{12B}(s) = 2R + sR^2C$  (dla wariantu B), przy czym dla obydwu wariantów obowiązuje  $s = j\omega_0$ .

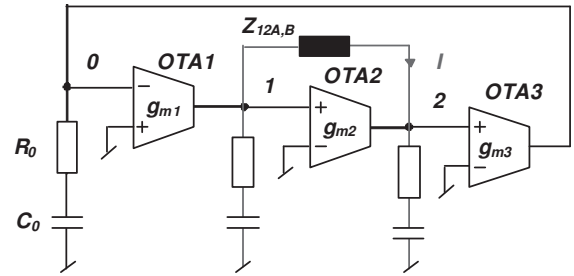


Rys. 3. Wariant B układu przetwornika przy realizacji nastawy  $tg\delta = tg\delta_1 = tg\delta_2 = \omega_0R(0 \div C/2)$  (a) i jego schemat zastępczy (b)

Wynika to z faktu bocznikowania punktów 1 i 2 układu przetwornika trzecią impedancją powstałego trójkąta

$Z_{12A,B}$  (por. rysunek 4) i pod tym względem lepszy jest wariant B, dla którego obowiązuje relacja [12]:

$$|Z_{12B}(s = j\omega_0)| \gg |Z_{12A}(s = j\omega_0)| \quad (6)$$



Rys. 4. Ilustracja wpływu impedancji  $Z_{12}$  na błąd systematyczny przetwornika  $\delta$  opisanego wzorem (5)

#### 4. WNIOSKI KOŃCOWE

Zaletą przyjętej realizacji przetwornika według rysunku 1 jest możliwość pomiaru w tym samym czasie 2 składowych impedancji pasywnego dwójnika typu RC, wybranych ze zbioru  $\{(R_0, C_0), (R_1, C_1), (R_2, C_2), (C_0, tg\delta_0), (C_1, tg\delta_1), (C_2, tg\delta_2)\}$  przy czym jeden z tych parametrów jest przetwarzany wprost na częstotliwość (pulsację  $\omega_0$  – por. wzór (1b)), natomiast drugi parametr wyznaczany jest z kolei na podstawie warunków (2a) lub (2b) lub (2c) przy stałości amplitud sygnałów sinusoidalnych  $U_1$  lub  $U_2$ .

Analizowany przetwornik składowych impedancji, dzięki wykorzystaniu właściwości przekształcenia „gwiazda-trójkąt”, pozwala na łatwe spełnienie (zwłaszcza w korzystniejszym wariantie B układu) realizacji nastaw:  $tg\delta = tg\delta_1 = tg\delta_2 = \omega_0RC$ .

#### 5. BIBLIOGRAFIA

1. Das B. P., Watson N., Liu Y.H.: Bipolar OTA based voltage controlled sinusoidal oscillator (third-order), Proceedings of the International Conference on Circuits, Systems, Signals, 2010.
2. Guzik J.: Komparator do badań dielektryków z zastosowaniem przetworników typu i/f, Zeszyty Naukowe Politechniki Śląskiej, Elektryka, z.169, 2000, s.179-189.
3. Horng J-W.: Current-mode third-order quadrature oscillator using CDTAs, Active and Passive Electronic Components, Vol. 2009.
4. Horng J-W., Lee H., Wu J-Y.: Electronically tunable third-order quadrature oscillator using CDTAs, Radioengineering, Vol. 19, No. 2, June 2010, pp.326 - 330.
5. Lamanwisut S., Siripruchyanum M.: High output-impedance current-mode third-order quadrature oscillator based on CCCCTAs, Thonburi University, Bangkok, Thailand, TENCON 2009.
6. Maheshwari S, Khan I.A.: Current controlled third order quadrature oscillator. IEE Proc.-Circuits Devices Syst., Vol. 152, No. 6. December 2005, pp.605-607.
7. Maheshwari S.: Current-mode third-order quadrature oscillator, IET Circuits Devices & Systems, Vol. 4, 2010, Iss. 3, pp.188-195.
8. Minhaj N.: MOCCII-Based function generator (third-order) with grounded passive components, XXXII

- National Systems Conference, Aligarh Muslim University, India, 2008.
9. Topór-Kamiński L.: Wielozaciskowe wzmacniacze operacyjne w układach oscylacyjnych, Wydawnictwo Pomiar, Automatyka, Kontrola, Warszawa, 2008.
  10. Topór-Kamiński L. i in.: Dwójnikowy oscylator kwadraturowy rzędu trzeciego z zastosowaniem transkonduktancyjnych wzmacniaczy operacyjnych OTA, Załącznik do pracy BK-219/RE-2/2011, IMEiA, Gliwice, 2011.
  11. Topór-Kamiński L. i inni: Nieliniowe i wielozaciskowe elementy elektroniczne w układach oscylacyjnych i metrologicznych, Załącznik do pracy BK-231/RE-2/2015, IMEiA, Gliwice, 2015.
  12. Topór-Kamiński L. i inni: Nieliniowe i wielozaciskowe elementy elektroniczne w układach oscylacyjnych i metrologicznych, Załącznik do pracy BK-209/RE-2/2016, IMEiA, Gliwice, 2016.
  13. Tsukatani T., Sumi Y., Fukui Y.: Electronically controlled current-mode oscillators (third-order) using MO-OTAs and grounded capacitors. *Frequenz, Journal of RF/Microwave Engineering, Photonics and Communications*, Vol. 60, No. 11-12, 2006, pp.220-223.

## STRUCTURES OF SIMULTANEOUS TWO PARAMETER CHANGES OF TWO-PORT RC NETWORK CONVERTER WITH FREQUENCY OUTPUT

In the paper the proposal of new structures of simultaneous two parameter changes of two-port RC network converter with frequency output is presented. The converter is based on third order quadrature oscillator (see Fig.1) where one of the measuring two-port parameters is converted into frequency (see Eq. (1b)), however second parameter changes – suitably converted – to the growth or the fall of amplitude value  $U_1$  or  $U_2$  of generated signals (see Eqs. (2a) – (2c)).

The detailed processing converter variants depended on choice of component impedance parameters (for parameter description - see Fig.1) from the set:  $\{(R_0, C_0), (R_1, C_1), (R_2, C_2), (C_0, tg\delta_0), (C_1, tg\delta_1), (C_2, tg\delta_2)\}$ . Recapitulating, the proposed converter solution according to Fig.2 is suitable to processing of  $(C_0, tg\delta_0)$  RC two-port component changes. In peculiarity, for case  $tg\delta = tg\delta_1 = tg\delta_2 = \omega_0 RC$ , the conversion equations are simplifying to the form described by Eqs. (3a) and (4b).

The A and B analyzed converter realization variants using the "star - triangle" transformation are presented on Fig.2a,b and Fig.3a,b too. Both variants A and B are characterized however by systematic error  $\delta$  described by Eq. (5). The advantage of proposed optimal converter realization variant B is the smaller value of error  $\delta$  in comparison with variant A (see Eq.(6) and Fig.4).

**Keywords:** impedance component changes-to-frequency converter, quadrature oscillator, transconductance amplifier.